

文章编号:1671-6833(2016)02-0054-04

静电纺丝法制备钇掺杂的ZnO及其对丙酮的气敏特性研究

冯秋霞^{1,2},于鹏¹,王兢¹,李晓干¹

(1.大连理工大学电子科学与技术学院,辽宁大连116023;2.大连东软信息学院电子工程系,辽宁大连116023)

摘要:为改善ZnO对丙酮的气敏响应,采用静电纺丝法,利用PVP/Zn(NO₃)₂·6H₂O/Y(NO₃)₃·6H₂O等制成的前驱液,制备了钇掺杂的ZnO纳米纤维,通过XRD、SEM等表征手段对制备的纯ZnO和掺杂的ZnO样品进行了表征分析。将制备的纯ZnO和钇掺杂的ZnO纳米纤维制成电阻型气体传感器。气敏测试结果表明,Y掺杂有效改善了ZnO纳米纤维对丙酮气体的敏感特性。在440℃时,对1×10⁻⁶~200×10⁻⁶(体积分数)丙酮具有良好的响应,响应时间为14~40 s,恢复时间为20~55 s,对于100×10⁻⁶丙酮的响应值约为70($S = R_a/R_g$),并且对于乙醇、氨气、甲醇、甲醛、甲苯、苯有较好的选择性。同时分析了该材料对丙酮的敏感机理。

关键词:静电纺丝法;ZnO纳米纤维;钇掺杂;丙酮传感器

中图分类号:TP212

文献标志码:A

doi:10.3969/j.issn.1671-6833.201511028

0 引言

近年来,ZnO一直以其优良的电学、催化和光电性质而备受关注。作为重要的II-VI族半导体材料,ZnO已经被广泛研究。将其应用于气敏传感器材料中,它对多种还原性、氧化性气体具有良好的气敏响应,比如对CO、H₂、NH₃、丙酮等。然而,基于ZnO的传感器也存在一些问题,比如响应低,工作温度高,不能测试较低浓度气体等^[1-3]。

掺杂杂质元素是改善材料电学等特性的方法之一^[4],也是增强气敏特性的方法之一^[5],例如SAHAV等制备的Al掺杂ZnO的LPG(液化石油气)传感器,在工作温度300℃下,响应增加了1~2个数量级^[6]。NIU等人利用Fe、Co和Cr来改善纯ZnO的气敏特性,制备得到的ZnFe₂O₄对Cl₂表现出较高的气敏响应和较好的选择性^[7]。此外,Y、Pd等金属也被用来改善ZnO的气敏特性,特别是掺入Y元素后,ZnO的电学、化学以及气敏特性都有明显的变化^[8-11]。

笔者通过静电纺丝法对Y掺杂的ZnO纳米纤维进行制备,并对其气敏特性进行研究。

1 试验方案

实验中所有原材料都是分析纯。Zn(NO₃)₂·6H₂O和Y(NO₃)₃·6H₂O分别提供Zn源及Y掺杂,纯ZnO和1% (原子比)的Y掺杂浓度的Y-ZnO被同时制备。将1 g Zn(NO₃)₂·6H₂O与一定量的Y(NO₃)₃·6H₂O溶于4 mL DMF(N,N-Dimethylformamide)与5 mL乙醇中,磁力搅拌1 h得到澄清溶液。然后将1 g PVP(polyvinyl pyrrolidone)加入以上溶液中,将该混合物再进行磁力搅拌12 h,即得到静电纺丝的前驱液,静电纺丝前将该前驱溶液在室温下静置老化1 h,如图1所示。在18 kV高压下,针头与铝箔接收板距离为13.5 cm进行静电纺丝,用推进器控制注射器的进液速度为0.2 mL/h,得到纯ZnO或1% Y掺杂ZnO纤维的前驱物。最后将前驱物置于马弗炉中,在空气条件下500℃焙烧3 h得到白色的纳米纤维材料。

图2为纯ZnO和1% Y掺杂ZnO的扫描电镜(SEM)照片。生成的纯ZnO纳米纤维的直径约为300~500 nm,掺杂1% Y的ZnO直径为200 nm左右,两种纳米纤维都由几十纳米的小颗粒组装而成。整个纳米纤维呈现多级结构,这样的结构有利

收稿日期:2015-11-13;修订日期:2016-01-12

基金项目:国家自然科学基金资助项目(61176068,61131004,61574025,61474012)

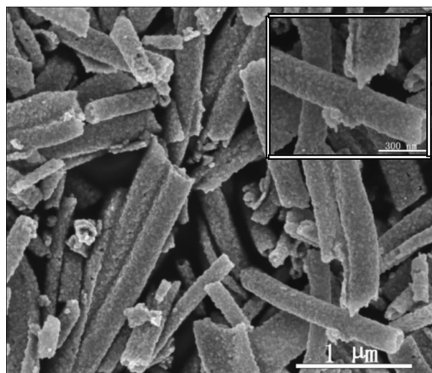
作者简介:冯秋霞(1981—),女,山西大同人,大连理工大学博士生,主要从事气敏材料及气敏传感器的研究,

E-mail:fengqixia@neusoft.edu.cn.

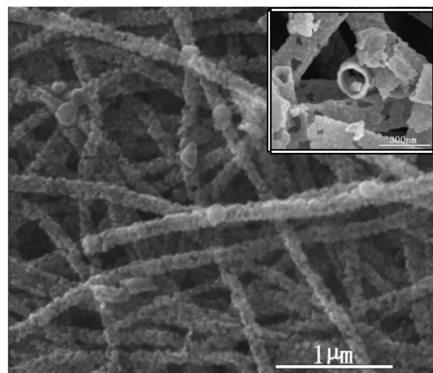
引用本文:冯秋霞,于鹏,王兢,等.静电纺丝法制备钇掺杂的ZnO及其对丙酮的气敏特性研究[J].郑州大学学报(工学版),2016,37(2):54~57.

于增大敏感材料的比表面积,便于气体在材料中的扩散。图3为EDX图谱,可知所得的材料中含有Zn、O和Y元素,其中Pt是用来增强材料导电性。

用X射线衍射仪(XRD)表征纯ZnO和质量分数1%Y掺杂ZnO的晶体物相结构如图4所示。ZnO的峰较强,基本看不到含Y的峰,可能与掺杂量较少有关^[12~13]。通过Scherror公式估算得到纯ZnO晶粒平均尺寸为44 nm,含质量分数1%Y的ZnO平均粒径为37 nm,可以看出Y的掺杂抑制了ZnO晶粒的生长。



(a) 纯ZnO的SEM图



(b) 1%掺杂ZnO的SEM图

图2 纯ZnO和1%Y掺杂ZnO的SEM图及其放大图

Fig. 2 SEM images of pure and 1% Y-doped ZnO nanofibers and their high-magnification images

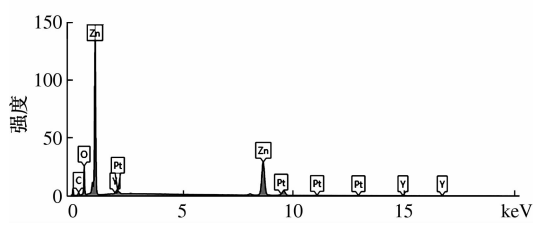


图3 1%Y掺杂ZnO的EDX图

Fig. 3 EDX spectra of 1% Y-doped ZnO nanofibers

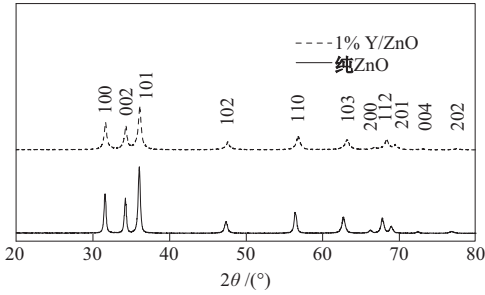


图4 纯ZnO与1%Y掺杂ZnO的XRD对比

Fig. 4 XRD patterns comparison of pure ZnO nanofibers and 1% Y-doped ZnO nanofibers

2 传感器的制备与气敏特性测试

将制备好的ZnO或Y掺杂的ZnO纳米纤维

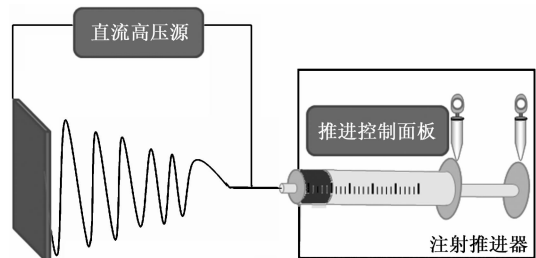
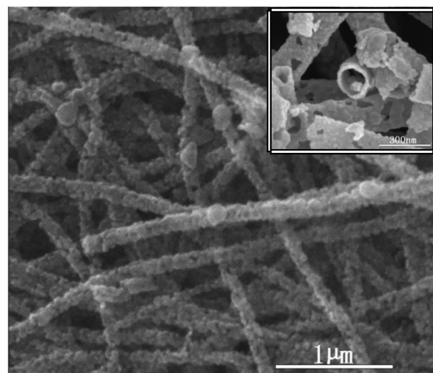


图1 Y掺杂ZnO纳米纤维装置示意图

Fig. 1 Schematic view of the setup for electrospinning of the Y-ZnO nanofibers



(b) 1%掺杂ZnO的SEM图

图2 纯ZnO和1%Y掺杂ZnO的SEM图及其放大图

Fig. 2 SEM images of pure and 1% Y-doped ZnO nanofibers and their high-magnification images

材料与去离子水混合均匀,均匀地涂抹在带有2个Au电极以及Pt引线的中空陶瓷管上,一根Ni-Cr加热丝可以穿过陶瓷管。将涂抹好的器件放在红外灯下干燥5 min,然后在马弗炉中300 °C下焙烧2 h,使电极与敏感材料充分接触。将加热丝的两端以及陶瓷管上的4个Pt电极引线焊接在六角底座上,制成气敏元件。将元件在300 °C下老化7 d。笔者采用静态配气系统(50 L配气箱)测试气敏元件的特性,按所需气体浓度计算出对应液体的体积,注入到测试箱内的加热丝上,液体挥发得到不同浓度的挥发性测试气体,测试数据的采集及响应计算由计算机自动控制。传感器的响应定义如公式(1)所示^[14]。其中 R_a 为传感器在空气背景中的电阻, R_g 为传感器在目标气体中的电阻。

$$S = \frac{R_a}{R_g} \quad (1)$$

图5显示了纯ZnO和质量分数1%Y掺杂的ZnO在不同温度下对100 × 10⁻⁶丙酮的响应对比,其中1%Y掺杂的ZnO纳米纤维传感器工作电阻较大为50 MΩ左右,而纯ZnO纳米纤维传感器的电阻为3 MΩ左右。这可能是由于Y的掺杂

增加了Zn²⁺等缺陷, Y/ZnO 禁带宽度随着Y的掺杂而增加^[15]。2个样品起初都随着温度升高到440℃达到了最大值响应,随着温度进一步上升,对丙酮的响应开始下降,确定传感器的最佳工作温度为440℃。这个过程与敏感气体在半导体传感器表面的吸附与脱吸附过程有关,当温度较低时敏感材料的化学活性很低,所以响应也低,随着温度升高,其响应逐渐增大,当温度太高时,吸附的气体分子在未与敏感材料作用前由于高温而脱离其表面,导致响应下降^[16~17]。

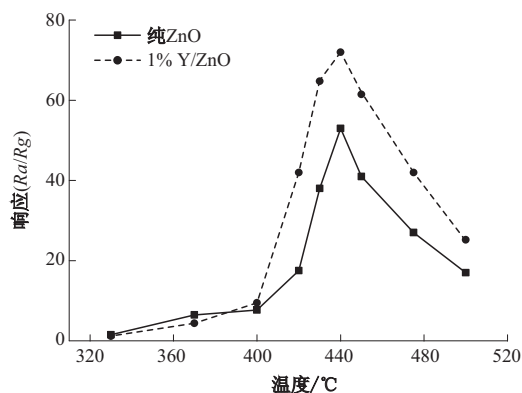


图5 纯ZnO和1%Y掺杂的ZnO在不同温度下对 100×10^{-6} 丙酮的响应

Fig. 5 Responses of pure and 1% Y-doped ZnO nanofibers to acetone of 100×10^{-6} at different temperatures

在440℃下1%Y掺杂的ZnO对 1×10^{-6} ~ 200×10^{-6} 丙酮的响应如图6所示。传感器的响应时间大约为14~40 s,恢复时间为20~55 s。传感器表现出较高的响应,比如对 100×10^{-6} 丙酮响应达到70左右。

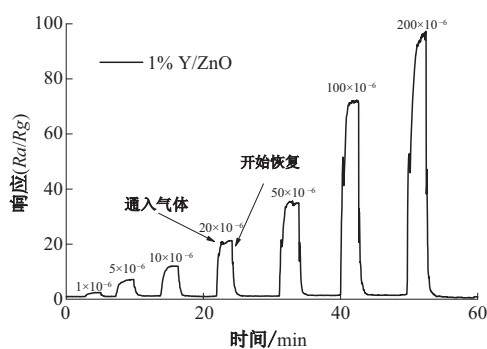


图6 在440℃下1%Y掺杂的ZnO纳米纤维传感器对 1×10^{-6} ~ 200×10^{-6} 丙酮的响应

Fig. 6 Responses of 1% Y-doped ZnO nanofibers based sensor to acetone of 1×10^{-6} ~ 200×10^{-6} at 440 °C

选择性对于气敏传感器来说非常重要,这里分别测试了1%Y掺杂的ZnO纳米纤维传感器对

体积浓度为 20×10^{-6} 的乙醇、甲醇、苯、氨水和丙酮的响应值,测试结果如图7所示,除乙醇外,该传感器对丙酮的响应大概是其他气体的4倍以上,是乙醇的2倍,具有较好的选择性。

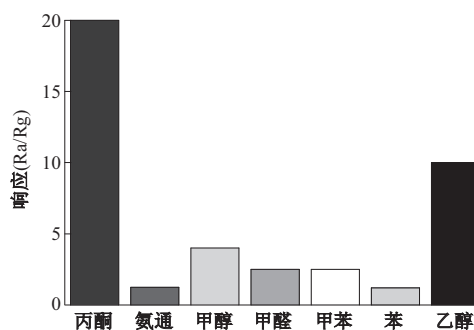


图7 1%Y掺杂ZnO对体积浓度为 20×10^{-6} 不同气体的响应

Fig. 7 Responses of 1% Y-doped ZnO nanofibers to different gases of 20×10^{-6}

根据以上测试结果可以看出,传感器响应的提高与Y的掺杂关系密切,作为催化剂,Y促进了还原性气体丙酮失去电子催化氧化为CO₂和H₂O,Y的掺杂带来了更多缺陷位,成为响应过程中的反应活性位^[18],Y掺杂的ZnO纳米纤维材料所具有的多级结构使得材料比表面积增大,也是响应得以提升的有效因素。在本实验中,同时也注意到随着Y含量升高,Y掺杂ZnO纳米纤维材料的气敏响应没有进一步增大(结果未列出),还需要在今后的工作中进一步研究。

3 结论

通过静电纺丝法成功制备了纯ZnO以及质量分数为1%Y掺杂的ZnO纳米纤维,并对其制备的传感器进行气敏特性的测试,结果表明Y的掺杂增强了ZnO对 1×10^{-6} ~ 200×10^{-6} 丙酮的响应,同时传感器也对其他气体,包括乙醇、氨气、甲醇、苯、甲苯、甲醛等有很好的选择性。气敏特性的增强主要归因于Y的催化作用,促进丙酮的催化氧化。

参考文献:

- ZHANG Y, XU J Q, XIANG Q, et al. Brush-like hierarchical ZnO nanostructures: synthesis, photoluminescence and gas sensor properties [J]. Journal of physical chemistry C, 2009, 113(9): 3430~3435.
- BAL A K, SINGH A, BEDI R K. Characterization and ammonia sensing properties of pure and modified ZnO films [J]. Applied physics A, 2010, 103(2): 497~503.

- [3] YOUN S K, RAMGIR N, WANG C Y, et al. Catalyst-free growth of ZnO nanowires based on topographical confinement and preferential chemisorption and their use for room temperature CO detection [J]. *Journal of physical chemistry C*, 2010, 114(22): 10092–10100.
- [4] 李洪涛,王彪,郅惠博. Y掺杂 $\text{Ca}_3\text{Co}_4\text{O}_9$ 的高温电学性能[J]. 郑州大学学报(工学版), 2014, 35(4): 45–47.
- [5] YAMAZOE N. New approaches for improving semiconductor gas sensors [J]. *Sensors and actuators B*, 1991 (5): 7–19.
- [6] SAHAY P P, NATH R K. Al-doped zinc oxide thin films for liquid petroleum gas (LPG) sensors [J]. *Sensors and actuators B: chemical*, 2008, 133(1): 222–227.
- [7] NIU X S, DU W P, DU W M. Preparation and gas sensing properties of ZnM2O4 (M = Fe, Co, Cr) [J]. *Sensors and actuators B: chemical*, 2004, 99(2/3): 405–409.
- [8] WEI S H, YU Y, ZHOU M H. CO gas sensing of Pd-doped ZnO nanofibers synthesized by electrospinning method [J]. *Materials letters*, 2010, 64(21): 2284–2286.
- [9] JIA T K, WANG W M, LONG F, et al. Synthesis, characterization and luminescence properties of Y-doped and Tb-doped ZnO nanocrystals [J]. *Materials science & engineering, B: advanced functional solid-state materials*, 2009, 162(3): 179–184.
- [10] KAUR R, SINGH A V, SEHRAWAT K, et al. Sol-gel derived yttrium doped ZnO nanostructures [J]. *Journal of non-crystalline solids*, 2006, 352(23/25): 2565–2568.
- [11] SON D H, KIM D H, KIM J H, et al. Effects of addition of Ta and Y ions to InZnO thin film transistors by sol-gel process [J]. *Journal of nanoscience and nanotechnology*, 2013, 13(6): 4211–4215.
- [12] ZHENG J H, SONG J L, JIANG Q, et al. Enhanced UV emission of Y-doped ZnO nanoparticles [J]. *Applied surface science*, 2012, 258(18): 6735–6738.
- [13] HEO S, SHARMA S K, LEE S, et al. Effects of Y contents on surface, structural, optical, and electrical properties for Y-doped ZnO thin films [J]. *Thin solid films*, 2014(558): 27–30.
- [14] YAO P J, WANG J, CHU W L, et al. Preparation and characterization of $\text{La}_{1-x}\text{Sr}_x\text{FeO}_3$ materials and their formaldehyde gas-sensing properties [J]. *Journal of materials science*, 2012, 48(1): 441–450.
- [15] WANG P, HE J F, GUO L X, et al. The electronic structures and optical properties of yttrium-doped zinc oxide with zinc interstitial defects calculated by first-principles[J]. *Materials science in semiconductor processing*, 2015(36): 36–42.
- [16] YAMAZOE N, FUCHIGAMI J, KISHIKAWA M, et al. Interactions of tin oxide surface with O_2 , H_2O and H_2 [J]. *Surface science*, 1979, 86(2): 335–344.
- [17] GHASDI M, ALAMDARI H. CO sensitive nanocrystalline LaCoO_3 perovskite sensor prepared by high energy ball milling [J]. *Sensors and actuators B: chemical*, 2010, 148(2): 478–485.
- [18] LIU L, LI S C, ZHUANG J, et al. Improved selective acetone sensing properties of Co-doped ZnO nanofibers by electrospinning [J]. *Sensors and actuators B: chemical*, 2011, 155(2): 782–788.

Preparation and Acetone Sensitivities of Y-doped ZnO Nanofibers by Electrisspinning

FENG Qiuxia^{1,2}, YU Peng¹, WANG Jing¹, LI Xiaogan¹

(1. School of Electronic Science and Technology, Dalian University of Technology, Dalian 116023, China;

2. Department of Electronic Engineering, Dalian Neusoft University of Information, Dalian 116023, China)

Abstract: To improve the sensing properties of ZnO to acetone, Y-doped ZnO nanofibers have been successfully synthesized by an electrospinning method which used PVP/Zn(NO_3)₂·6H₂O/Y(NO_3)₃·6H₂O et al as the precursor. The samples of pure and Y-doped ZnO nanofibers were characterized by XRD, SEM et al. The resistive – type gas sensors were fabricated using the as – prepared pure and Y-doped ZnO nanofibers. Sensing properties of the sensors were investigated. The results obtained have shown that the sensing properties of ZnO nanofibers to acetone were effectively improved by Y doping. At 440 °C, the sensors based on Y-doped ZnO showed high response to acetone of $1 - 200 \times 10^{-6}$ with response time of 14–40 s and recovery time of 20–55 s. The response to acetone of 100×10^{-6} can reach to as high as 70 (S = Ra/Rg). It also showed good selectivity to several potential interferent gases such as ethanol, ammonia, benzene, formaldehyde, toluene, and methanol. The sensing mechanism was briefly discussed.

Key words: electrospinning; ZnO nanofibers; Y dopant; acetone sensor